

(4.4) 鉄筋コンクリート長方形梁の曲げ引張塑性域高さについて

日本大学 正員 原 忠勝

1. まえがき

一般に鉄筋コンクリート部材の設計には、コンクリートの引張抵抗を無視して設計されるので、ひびわれ発生が直ちに部材耐力の減少につながるにつかず、高強度異形棒鋼を行なう場合にひびわれ発生後にその特性が生じてくる。しかししながら、コンクリート構造物に於けるひびわれは鉄筋の腐食を誘発し、水密性の低下、過大な変形、並びに美観の損傷等によって、その使用性が害され恐いは充分に考えられる。さて、鉄筋コンクリートの設計に於ては、このようなひびわれは考慮しなければならない限界状態の一つとされてゐる。

本報告に於ては、このひびわれ限界状態設計方法についての基礎資料を得るために、ひびわれ発生時の部材引張側の応力分布を弾塑性モデルで近似した場合の塑性域の高さを求める、併せて他研究者^{2) 3) 4)}による実験結果と比較検討したものである。

2. 方 法

曲げひびわれ発生時に於ける部材引張側応力分布を弾塑性とした場合の塑性域の深さ d_p は、一般的に、引張側コンクリートの降伏ひずみ ϵ_y 、塑性ひずみ ϵ_p 、及び鉄筋のひずみ ϵ_s を与える事によって求められる。⁴⁾ しかし、これら降伏ひずみ、塑性ひずみの算定には不確定要素が多く、測定方法によっても測定し難く、単に測定出来るものではないものと思われる。そこで本報告に於ては Fig.-1 に示す如き応力分布に基づきひびわれ発生モーメントの算定式を求め、ひびわれ発生荷重の実験値より、塑性係数 K_p を求める方法とした。ひびわれ発生時に於ける中立軸位置係数 K_c は以下の通りの条件より、

$$K_c = \frac{1}{2} \cdot \frac{K_p(2-K_p) + 2nPK_1}{1+nP} \quad \dots (1)$$

尚且つ、中立軸に寄するモーメント式を求め、数値計算を行なうため、塑性係数 K_p を整数としてひびわれモーメント係数 $K_{mc} = Mc/b_0h^2\sigma_{ct}$ は次式に示す通りである。

$$K_{mc} = Mc/b_0h^2\sigma_{ct} = F_1(K_p) \left\{ F_2(K_p) + \frac{1}{2} \cdot F_3(K_p) + \frac{1}{6} \cdot F_4(K_p) \right\} \quad \dots (2)$$

$$\therefore F_1(K_p) = \frac{1}{K_p^3 + 2(nPK_p - nPK_1)}$$

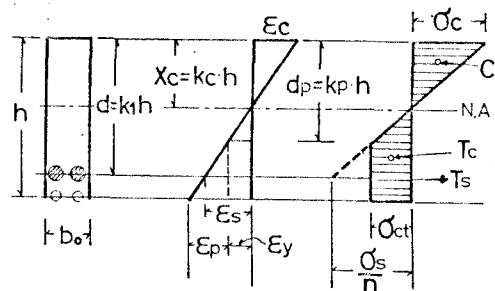
$$F_2(K_p) = \frac{1}{2(1+nP)} \left\{ K_p^4 - 4K_p^3 - 4(mRK_1 - 1)K_p^2 + 8nRK_1 \cdot K_p + 4(nPK_1)^2 \right\}$$

$$F_3(K_p) = (2K_p - K_p^2 + 2nPK_1)(K_p^2 - 2K_p - 2nR - 1)$$

$$F_4(K_p) = 2(1+nP)(3K_p - K_p^3 + 6nPK_1)$$

そこで、ニード定した応力分布状態に於ける塑性係数 K_p について単純長方形梁36試験体の結果を式(2)で数値計算を行なった結果、Fig.-2に示す如くである。数値計算に用いた試験体は曲げモーメント領域で発生したひびわれを対象とし、曲げせん断領域でのひびわれ斜めひびわれは除外したものである。又、これらの値は神山氏の提案値 $M = 0.7$ より大きく、鉄筋量による影響はないものと思われるが n/P による変化が若干見受けられ

Fig-1
Stress and Strain Distribution



where; $n = E_s/E_c$

E_y : Yield Strain

E_p : Plastic Strain

Fig-2 に示す如く、平均値としての塑性係数 $K_p = 0.807$ を用いて、各研究者による結果並びに提案式を比較したものと Fig-3 に示す。

3. 結論

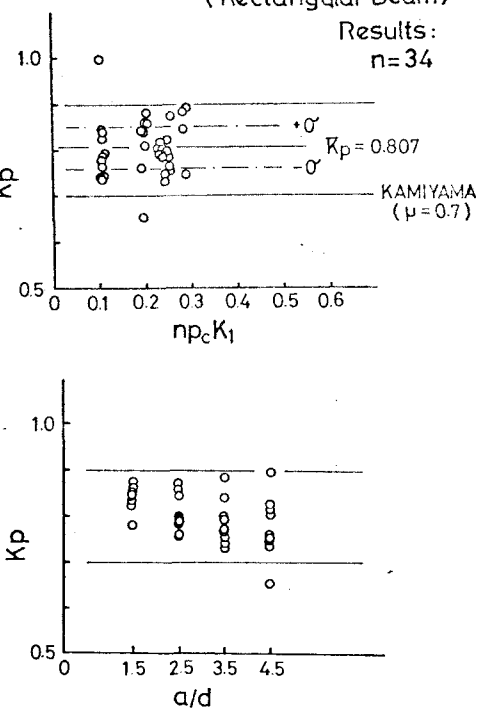
以上、ひびわれ発生時に於ける部材引張側の応力分布と弾塑性モデルと仮定した場合の塑性域の深さ d_p について、試験体に於ける結果を用いて求め、併せてひびわれ発生モーメントについて比較を行った。これより本報告においては次に挙げらる如くである。

1) 試験体より求めた塑性係数は神山氏の提案値より大きくなる。
 $K_p = 0.807 \pm 0.046$ である。

2) これより、ひびわれ発生モーメント算定では、応力分布を一般形状とした藤田氏の算定式³⁾と大差なく、弾塑性分布としても、結果をほぼ満足するものと思われる。

3) 鉄筋量が多くなると、研究者の結果に差が多くなるが、Schreyer らの認める鉄筋の影響が、鉄筋量にさらなるひびわれ開始部の強化作用¹⁾のためかは判断出来ない。

Fig-2 $K_p - np_c K_1, a/d$
 (Rectangular Beam)
 Results:
 n=34



参考文献

1) 角田与史雄：鉄筋コンクリート部材の諸性状(その8)

工木学会, コンクリートライブリーアイド34号

2) 岡田 清：セメント技術年報Ⅳ 1950

3) 藤田嘉夫：北大工学部研究新報告32号 1969.10月

4) 神山一：鉄筋コンクリート，コロナ社

5) Schreyer, C.: Beton und Eisen, Apr. 1939

Fig-3

$K_{mc} - np_c K_1$
 (Rectangular Beam)

where,
 $K_{mc} = Mc/bh^2\sigma_{ct}$
 $n = Es/Ec$
 $p_c = As/bh$
 $K_1 = d_o/h$

